



UNIVERSIDAD SIMÓN BOLÍVAR  
DPTO. DE ELECTRÓNICA Y CIRCUITOS  
DISTRIBUCIÓN DE LLAVES CUÁNTICAS

**Proyecto:**  
QUANTUM SECRET DIRECT COMUNICATION (QSDC)  
WITH AUTHENTICATION

Autor:

Ángel Álvarez

16-10031

Abril, 2022

---

# Introducción

La noción de Quantic Secret Communication acaba de desarrollarse; es un tipo de comunicación cuántica en la que se pueden enviar mensajes secretos a través de un canal cuántico con o sin comunicaciones clásicas complementarias. Una comunicación cuántica directa segura (QSDC) envía mensajes secretos directamente entre las partes que se comunican, del remitente al receptor, sin el uso de protocolos de comunicación convencionales adicionales que no sean los necesarios para chequear intrusos.

En otras palabras, en QSDC, el proceso de distribución de clave cuántica (QKD) y la comunicación de texto cifrado clásico se combinan en un único mecanismo de comunicación cuántica. La noción de transmisión directa de comunicaciones secretas tiene dos significados en QSDC: por un lado, se entregan mensajes secretos en lugar de claves sin procesar; por otro lado, el receptor no requiere ninguna comunicación clásica adicional del emisor para decodificar los mensajes secretos.

Para este tema solo se escogieron los papers de Farouk et al. ya que son bastante densos en contenido y además que resumen muy bien todo el proceso de comunicación con autenticación, además de tener un enfoque empresarial aplicado. El primero se usa únicamente por ser un protocolo de autenticación de identidad robusto que se utiliza previa a la comunicación y el segundo engloba todo el sistema de comunicación.

---

# 1. A generalized architecture of quantum secure direct communication for $N$ disjointed users with authentication by Farouk, Zakaria, Megahed and Omara (2015)

En este paper, se generaliza el proceso de QSDC entre  $N$  usuarios con parcial y completa cooperación del quantum server (QS). Así,  $N - 1$  usuarios disjuntos  $u_1, u_2, \dots, u_{N-1}$  pueden transmitir un mensaje secreto de bits clásicos a un usuario remoto  $u_N$  utilizando la propiedad de *dense coding* y las transformaciones de Pauli.

## 1.1. Fase de autenticación basada en 'Robust general $N$ user authentication scheme in a centralized quantum communication network via generalized GHZ states by Farouk et al.

- **A.1:** El QS y los  $N$  usuarios,  $u_1, u_2, \dots, u_i, \dots, u_N$ , comparten una llave de autenticación  $J_k$  previa a cualquier comunicación, definida como:

$$J_k = \{J_1, J_2, \dots, J_{N+1}\}. \quad (1)$$

- **A.2:** Si  $u_i$  quiere enviar un mensaje a  $u_j$ ,  $u_i$  le informa a  $u_j$  y al QS. Cuando el QS recibe la solicitud, el genera una secuencia de estados GHZ de  $N + 1$  partículas, se define a continuación:

$$S = \{|\Psi_1^+\rangle, |\Psi_2^+\rangle, \dots, |\Psi_{N+1}^+\rangle\}, \quad (2)$$

donde cada estado GHZ es:

$$|\Psi_k^+\rangle = \frac{1}{\sqrt{2}}(|000 \dots 0\rangle + |111 \dots 1\rangle)_{S12 \dots N}. \quad (3)$$

Luego, el QS conserva la partícula  $S$  y le transmite a cada  $u_i$  la partícula  $i$ , respectivamente.

- **A.3:** Una vez los usuarios reciben sus partículas, cada uno de ellos genera una partícula propia resultado de la encriptación de su llave de autenticación y una operación binaria en particular. Estos estados son:

$$|\phi_{n_i}\rangle = \begin{cases} |J_i \otimes J_k\rangle, & i < k, \\ |J_{i+1} \otimes J_k\rangle, & i \geq k. \end{cases} \quad (4)$$

donde  $\otimes$  denota la operación en particular previamente acordada por los usuarios y el QS.

- **A.4:** Luego, cada  $u_i$  realiza una operación  $C_{OP}^{i \rightarrow n_i}$  en su partícula  $i$  del GHZ y  $n$ . El estado producido  $p$  será:

$$|\phi_{p_i}\rangle = C_{OP}^{i \rightarrow n_i}(|\Psi_k^+\rangle \otimes |\phi_{n_i}\rangle), \quad (5)$$

donde  $C_{OP} = C_0$  si  $J_{N+1} = 0$  y  $C_{OP} = C_1$  si  $J_{N+1} = 1$ .  $C_0$  y  $C_1$  se definen como:

$$C_0 = |0\rangle_i \langle 0|_i \otimes I_{n_i} + |1\rangle_i \langle 1|_i \otimes X_{n_i}, \quad (6)$$

$$C_1 = |+\rangle_i \langle +|_i \otimes I_{n_i} + |-\rangle_i \langle -|_i \otimes X_{n_i}. \quad (7)$$

- **A.5:** Cada  $u_i$  preserva la partícula  $i$  del GHZ y le envía  $n_i$  al QS.
- **A.6:** Cuando QS recibe cada  $n_i$  empieza a descryptar realizando una operación  $C_{OP}^{S \rightarrow n_i}$  en cada  $n_i$ , obteniendo:

$$|\phi'_{p_i}\rangle = C_{OP}^{S \rightarrow n_i} |\phi_{p_i}\rangle. \quad (8)$$

- **A.7:** El QS empieza a verificar midiendo  $|\phi\rangle_{n_i}$  en las bases de  $Z$ . La medida debería arrojar  $J_i \otimes J_{N+1}$  si el usuario  $u_i$  tiene la llave correcta. En caso de ser diferente, entonces existe un impostor o hay intrusos interceptando las partículas y se debe repetir la fase completa.

## 2. Comunicación entre dos usuarios disjuntos con cooperación parcial y completa del server cuántico

En este esquema, cuando el servidor cuántico recibe una solicitud de comunicación de un usuario con otro usuario, el servidor cuántico distribuye estados GHZ entre los usuarios involucrados en el proceso de comunicación. La distribución se establece después de completar con éxito la autenticación antes del inicio del proceso de comunicación. El servidor cuántico distribuye a todos los usuarios partículas generadas pero tiene una para sí mismo. Como consecuencia, el servidor cuántico y los usuarios se entrelazan debido a la presencia de una sola partícula por usuario para un estado GHZ distribuido. Además, la medición de GHZ es utilizada por el receptor o el servidor cuántico, según el tipo de cooperación utilizada durante la comunicación entre usuarios. En el caso de cooperación parcial del QS, es el usuario receptor encargado de descifrar el mensaje y realizar la medida GHZ. Para la cooperación completa del QS, el usuario receptor solo debe esperar por la medida GHZ del QS y descifrar el mensaje con su medida en  $X$ .

Durante los diferentes modos de comunicación se utilizan 8 pares GHZ de 3 partículas, definidos como:

$$|\psi^\pm\rangle = \frac{1}{\sqrt{2}}(|000\rangle \pm |111\rangle), \quad (9)$$

$$|\gamma^\pm\rangle = \frac{1}{\sqrt{2}}(|011\rangle \pm |100\rangle), \quad (10)$$

$$|\phi^\pm\rangle = \frac{1}{\sqrt{2}}(|010\rangle \pm |101\rangle), \quad (11)$$

$$|\varphi^\pm\rangle = \frac{1}{\sqrt{2}}(|001\rangle \pm |110\rangle). \quad (12)$$

Y además los 4 pares de Bell de costumbre:

$$|\Phi^\pm\rangle = \frac{1}{\sqrt{2}}(|00\rangle \pm |11\rangle), \quad (13)$$

$$|\Psi^\pm\rangle = \frac{1}{\sqrt{2}}(|01\rangle \pm |10\rangle). \quad (14)$$

Aquí se usa la propiedad de la codificación densa para codificar y transmitir una serie de mensajes clásicos entre dos usuarios disjuntos con soporte parcial del servidor cuántico. En otras palabras, el mensaje se transmite de acuerdo con la publicación del servidor cuántico y la medida del usuario receptor. En este escenario,  $u_i$  forma al servidor cuántico sobre su solicitud de transmitir un mensaje a  $u_j$  distante.

## 2.1. Cooperación parcial

- **P.2.1:** El QS genera una secuencia de estados GHZ:

$$S = \left\{ |\psi_1^+\rangle, |\psi_2^+\rangle, \dots, |\psi_N^+\rangle \right\}, \quad (15)$$

donde,

$$|\psi_k^+\rangle_{iqj} = \frac{1}{\sqrt{2}}(|000\rangle_{iqj} + |111\rangle_{iqj}). \quad (16)$$

Teniendo las bases de  $Z$  en función de las bases de  $X$ :

$$|0\rangle = \frac{1}{\sqrt{2}}(|+\rangle + |-\rangle), \quad (17)$$

$$|1\rangle = \frac{1}{\sqrt{2}}(|+\rangle - |-\rangle), \quad (18)$$

y además:

$$|00\rangle = \frac{1}{\sqrt{2}}(|\Phi^+\rangle + |\Phi^-\rangle), \quad (19)$$

$$|11\rangle = \frac{1}{\sqrt{2}}(|\Phi^+\rangle - |\Phi^-\rangle). \quad (20)$$

Usando las ecuaciones (19-20) en las partícula  $ij$  de la ecuación (16) y las ecuaciones (17-18) en la partícula  $q$  de la misma ecuación (16):

$$\begin{aligned} |\psi^+\rangle_{iqj} &= \frac{1}{\sqrt{2}}(|000\rangle_{iqj} + |111\rangle_{iqj}), \\ &= \frac{1}{\sqrt{2}} \left( \frac{1}{\sqrt{2}}(|\Phi^+\rangle + |\Phi^-\rangle)_{ij} \frac{1}{\sqrt{2}}(|+\rangle + |-\rangle)_q + \right. \\ &\quad \left. + \frac{1}{\sqrt{2}}(|\Phi^+\rangle - |\Phi^-\rangle)_{ij} \frac{1}{\sqrt{2}}(|+\rangle - |-\rangle)_q \right), \\ &= \frac{1}{2\sqrt{2}} \left( |\Phi^+\rangle|+\rangle + |\Phi^+\rangle|-\rangle + |\Phi^-\rangle|+\rangle + |\Phi^-\rangle|-\rangle + \right. \\ &\quad \left. + |\Phi^+\rangle|+\rangle - |\Phi^+\rangle|-\rangle - |\Phi^-\rangle|+\rangle + |\Phi^-\rangle|-\rangle \right)_{ijq}, \\ &= \frac{1}{2\sqrt{2}} \left( 2|\Phi^+\rangle_{ij}|+\rangle_q + 2|\Phi^-\rangle_{ij}|-\rangle_q \right), \\ &= \frac{1}{\sqrt{2}} \left( |\Phi^+\rangle_{ij}|+\rangle_q + |\Phi^-\rangle_{ij}|-\rangle_q \right) \end{aligned} \quad (21)$$

Con la secuencia generada, el QS la reparte entre  $u_i$ ,  $u_j$  y el mismo. Los subíndices,  $i$ ,  $q$  y  $j$  representan a quién le pertenece cada partícula respectivamente.

- **P.2.2:** El usuario disjunto  $u_i$  escoge al azar un subconjunto de la secuencia  $S$ , llamado  $S_{u_i}$ , y la mantiene confidencial.
- **P.2.3:**  $u_i$  genera una secuencia de bits,  $b_i \in \{00, 01, 10, 11\}$ , esta es el mensaje a transmitir. De acuerdo a dicha cadena, aplica una de las siguientes operaciones a su partícula en la secuencia codificando el mensaje  $b_i$ :

$b_i$	$U_{b_i}$
00	$U_{00} = I$
01	$U_{01} = X$
10	$U_{10} = Y$
11	$U_{11} = Z$

Cuadro 1: Codificación de mensaje.

- **P.2.4:** La conversión se divide en cuatro posibles casos:

- $b_i = 00$ :

$$(I \otimes I \otimes I) |\psi^+\rangle_{iqj} = \frac{1}{\sqrt{2}} \left( |\Phi^+\rangle_{ij} |+\rangle_q + |\Phi^-\rangle_{ij} |-\rangle_q \right) \quad (22)$$

■  $b_i = 01$ :

$$\begin{aligned} (X \otimes I \otimes I) |\psi\rangle_{ijq} &= (X \otimes I \otimes I) \frac{1}{\sqrt{2}} \left( |\Phi^+\rangle_{ij} |+\rangle_q + |\Phi^-\rangle_{ij} |-\rangle_q \right), \\ &= (X \otimes I \otimes I) \frac{1}{\sqrt{2}} \left( \frac{1}{\sqrt{2}} (|00\rangle + |11\rangle)_{ij} |+\rangle_q + \right. \\ &\quad \left. + \frac{1}{\sqrt{2}} (|00\rangle - |11\rangle)_{ij} |-\rangle_q \right), \\ &= \frac{1}{\sqrt{2}} \left( \frac{1}{\sqrt{2}} (|10\rangle + |01\rangle)_{ij} |+\rangle_q + \frac{1}{\sqrt{2}} (|10\rangle - |01\rangle)_{ij} |-\rangle_q \right), \\ &= \frac{1}{\sqrt{2}} \left( |\Psi^+\rangle_{ij} |+\rangle_q + |\Psi^-\rangle_{ij} |-\rangle_q \right), \end{aligned} \quad (23)$$

■  $b_i = 10$ :

$$\begin{aligned} (Y \otimes I \otimes I) |\psi^+\rangle_{iqj} &= (Y \otimes I \otimes I) \frac{1}{\sqrt{2}} \left( |\Phi^+\rangle_{ij} |+\rangle_q + |\Phi^-\rangle_{ij} |-\rangle_q \right), \\ &= (Y \otimes I \otimes I) \frac{1}{\sqrt{2}} \left( \frac{1}{\sqrt{2}} (|00\rangle + |11\rangle)_{ij} |+\rangle_q + \right. \\ &\quad \left. + \frac{1}{\sqrt{2}} (|00\rangle - |11\rangle)_{ij} |-\rangle_q \right), \\ &= \frac{1}{\sqrt{2}} \left( \frac{1}{\sqrt{2}} (-|10\rangle + |01\rangle)_{ij} |+\rangle_q + \frac{1}{\sqrt{2}} (-|10\rangle - |01\rangle)_{ij} |-\rangle_q \right), \\ &= \frac{1}{\sqrt{2}} \left( |\Psi^-\rangle_{ij} |+\rangle_q - |\Psi^+\rangle_{ij} |-\rangle_q \right), \end{aligned} \quad (24)$$

■  $b_i = 11$ :

$$\begin{aligned} (Z \otimes I \otimes I) |\psi^+\rangle_{iqj} &= (Z \otimes I \otimes I) \frac{1}{\sqrt{2}} \left( |\Phi^+\rangle_{ij} |+\rangle_q + |\Phi^-\rangle_{ij} |-\rangle_q \right), \\ &= (Z \otimes I \otimes I) \frac{1}{\sqrt{2}} \left( \frac{1}{\sqrt{2}} (|00\rangle + |11\rangle)_{ij} |+\rangle_q + \right. \\ &\quad \left. + \frac{1}{\sqrt{2}} (|00\rangle - |11\rangle)_{ij} |-\rangle_q \right), \\ &= \frac{1}{\sqrt{2}} \left( \frac{1}{\sqrt{2}} (|00\rangle - |11\rangle)_{ij} |+\rangle_q + \frac{1}{\sqrt{2}} (|00\rangle + |11\rangle)_{ij} |-\rangle_q \right), \\ &= \frac{1}{\sqrt{2}} \left( |\Phi^-\rangle_{ij} |+\rangle_q + |\Phi^+\rangle_{ij} |-\rangle_q \right), \end{aligned} \quad (25)$$

- **P.2.5:** Luego,  $u_i$  le transmite el estado codificado al usuario disjunto  $u_j$ .

- **P.2.6:**  $u_j$  ejecuta una medida de Bell en su partícula y en la de  $u_i$ . Al mismo tiempo, el QS calcula el estatus de su partícula de acuerdo a las bases de X, y anuncia el resultado de su medida.
- **P.2.7:**  $u_j$  usa el resultado de su medida y la publicación del QS para retribuir el mensaje original  $b_i$ , de acuerdo a los resultados en las ecuaciones (22-25) se puede construir el Cuadro 1.

Medida del $u_j$	Medida del QS	Operación de $u_i$	$b_i$
$ \Phi^+\rangle_{ij}$	$ +\rangle_q$	$I$	00
$ \Phi^+\rangle_{ij}$	$ -\rangle_q$	$Z$	11
$ \Psi^+\rangle_{ij}$	$ +\rangle_q$	$X$	01
$ \Psi^+\rangle_{ij}$	$ -\rangle_q$	$Y$	10
$ \Phi^-\rangle_{ij}$	$ +\rangle_q$	$Z$	11
$ \Phi^-\rangle_{ij}$	$ -\rangle_q$	$I$	00
$ \Psi^-\rangle_{ij}$	$ +\rangle_q$	$X$	10
$ \Psi^-\rangle_{ij}$	$ -\rangle_q$	$Y$	01

Cuadro 2: Decodificación según medidas para el caso de cooperación completa.

La Figura 1 esquematiza el protocolo para el caso de la cooperación parcial del QS.

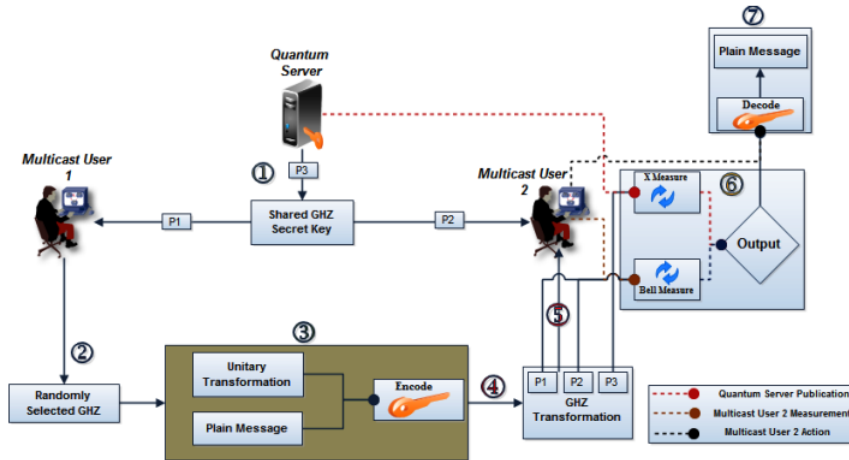


Figura 1: Proceso de comunicación entre dos usuarios disjuntos usando el soporte parcial del QS.

## 2.2. Cooperación completa

Este proceso consta de los pasos necesarios para la transmisión de un mensaje clásico entre dos usuarios disjuntos con soporte completo del servidor cuántico. En otras palabras, el servidor cuántico funciona como un centro de paso de mensajes entre los usuarios disjuntos comunicados.



Hay que tener en cuenta que para este paso los cambios de base de la ecuación (16) a las bases de Bell ocurren sobre las partículas  $iq$ , y el cambio a las bases de  $X$  sobre  $j$ , los cálculos de transformaciones siguen la misma lógica y resultados. Ahora, repitiendo los pasos P.2.1-P.2.4 con esta consideración, retomamos el protocolo de la siguiente forma:

- **C.2.5:** Luego de aplicar la transformación de GHZ correcta,  $u_i$  transmite el mensaje codificado al QS.
- **C.2.6:** El QS realiza la medida de Bell en su partícula y la de  $u_i$ .  $u_j$  calcula el estatus de su partícula de acuerdo a las bases de  $X$  y anuncia el resultado de su medida.
- **C.2.7:**  $u_j$  emplea la medida del QS y su publicación para retribuir el mensaje original según el Cuadro 2.

Medida del QS	Publicación de $u_j$	Operación de $u_i$	$b_i$
$ \Phi^+\rangle_{iq}$	$ +\rangle_j$	$I$	00
$ \Phi^+\rangle_{iq}$	$ -\rangle_j$	$Z$	11
$ \Psi^+\rangle_{iq}$	$ +\rangle_j$	$X$	01
$ \Psi^+\rangle_{iq}$	$ -\rangle_j$	$Y$	10
$ \Phi^-\rangle_{iq}$	$ +\rangle_j$	$Z$	11
$ \Phi^-\rangle_{iq}$	$ -\rangle_j$	$I$	00
$ \Psi^-\rangle_{iq}$	$ +\rangle_j$	$X$	10
$ \Psi^-\rangle_{iq}$	$ -\rangle_j$	$Y$	01

Cuadro 3: Decodificación según medidas para el caso de cooperación completa.

La Figura 2 esquematiza el protocolo para el caso de la cooperación completa del QS.

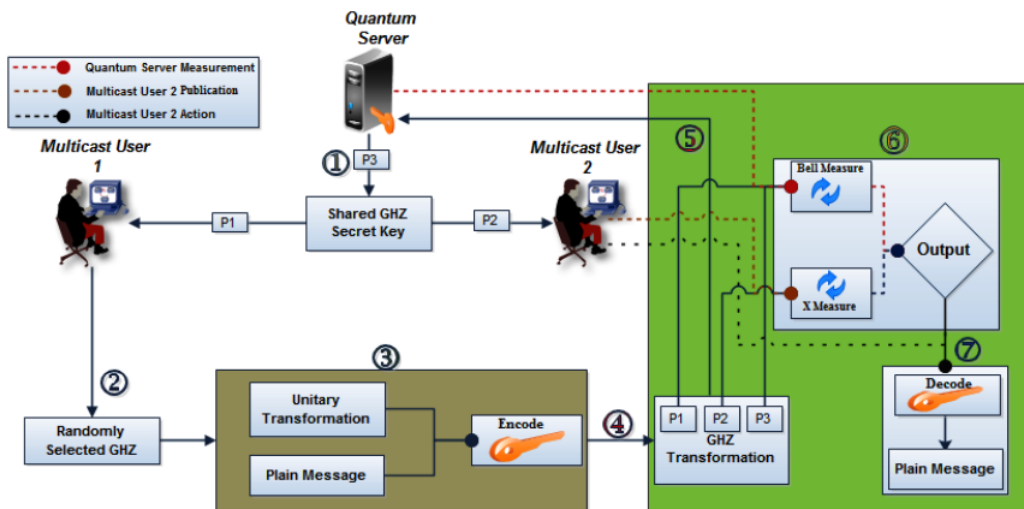


Figura 2: Proceso de comunicación entre dos usuarios disjuntos usando el soporte completo del QS.

### 3. Comunicación entre tres usuarios disjuntos con cooperación parcial y completa del server cuántico

#### 3.1. Cooperación parcial

- **P.3.1:** El QS genera una secuencia de estados GHZ:

$$S = \left\{ |\Psi_1\rangle, |\Psi_2\rangle, \dots, |\Psi_{N+1}\rangle \right\}, \quad (26)$$

donde,

$$|\Psi_k\rangle = \frac{1}{\sqrt{2}} \left( |0000\rangle_{ijql} + |1111\rangle_{ijql} \right). \quad (27)$$

De la ecuación (8):

$$|\psi^\pm\rangle = \frac{1}{\sqrt{2}} (|000\rangle \pm |111\rangle) \quad (28)$$

sumando estos estados obtenemos:

$$|000\rangle = \frac{1}{\sqrt{2}} (|\psi^+\rangle + |\psi^-\rangle), \quad (29)$$

$$|111\rangle = \frac{1}{\sqrt{2}} (|\psi^+\rangle - |\psi^-\rangle). \quad (30)$$

Usando las ecuaciones (29-30) sobre  $ijl$  de la ecuación (27) y además las ecuaciones (17-18) sobre la partícula  $q$  en la misma ecuación (27), tenemos:

$$\begin{aligned} |\Psi_k\rangle &= \frac{1}{\sqrt{2}} \left( \frac{1}{\sqrt{2}} (|\psi^+\rangle + |\psi^-\rangle)_{ijl} |0\rangle_q + \frac{1}{\sqrt{2}} (|\psi^+\rangle - |\psi^-\rangle)_{ijl} |1\rangle_q \right), \\ &= \frac{1}{2\sqrt{2}} \left( (|\psi^+\rangle + |\psi^-\rangle)_{ijl} (|+\rangle + |-\rangle)_q + (|\psi^+\rangle - |\psi^-\rangle)_{ijl} (|+\rangle - |-\rangle)_q \right), \\ &= \frac{1}{2\sqrt{2}} \left( |\psi^+\rangle_{ijl} |+\rangle_q + |\psi^+\rangle_{ijl} |-\rangle_q + |\psi^-\rangle_{ijl} |+\rangle_q + |\psi^-\rangle_{ijl} |-\rangle_q + \right. \\ &\quad \left. + |\psi^+\rangle_{ijl} |+\rangle_q - |\psi^+\rangle_{ijl} |-\rangle_q - |\psi^-\rangle_{ijl} |+\rangle_q + |\psi^-\rangle_{ijl} |-\rangle_q \right), \\ &= \frac{1}{2\sqrt{2}} \left( 2|\psi^+\rangle_{ijl} |+\rangle_q + 2|\psi^-\rangle_{ijl} |-\rangle_q \right), \\ &= \frac{1}{\sqrt{2}} \left( |\psi^+\rangle_{ijl} |+\rangle_q + |\psi^-\rangle_{ijl} |-\rangle_q \right). \end{aligned} \quad (31)$$

Luego, el QS reparte las partículas  $ijl$  entre los usuarios  $u_i, u_j$  y  $u_l$  respectivamente, conservando él la partícula  $q$ .

- **P.3.2:** Ambos,  $u_i$  y  $u_j$ , escogen aleatoriamente un subconjunto de la secuencia  $S$  y la mantienen incógnita.
- **P.3.3:**  $u_i$  genera una secuencia aleatoria de bits para transmitir el mensaje. De acuerdo a la misma codificación para el caso de dos usuarios,  $u_i$  aplica una operación  $U_{b_i}$ , donde  $b_i \in \{00, 01, 10, 11\}$ , sobre su partícula. Al mismo tiempo  $u_j$  aplica una operación  $U_{b_j}$ , donde  $b_j \in \{0, 1\}$ , sobre su partícula de acuerdo a la siguiente tabla:

$b_j$	$U_{b_j}$
0	$U_0 = I$
1	$U_1 = X$

 Cuadro 4: Codificación de  $u_j$ .

- **P.3.4:** Luego, el estado GHZ será convertido de acuerdo a los bits transmitidos según los siguientes casos, en todos ellos se ignoran las operaciones identidad sobre los qubits  $l$  y  $q$ :

- $b_i b_j = 000$ :

$$\begin{aligned}
 (I_i \otimes I_j) |\Psi_k\rangle &= (I_i \otimes I_j) \frac{1}{\sqrt{2}} \left( |\psi^+\rangle_{ijl} |+\rangle_q + |\psi^-\rangle_{ijl} |-\rangle_q \right), \\
 &= \frac{1}{\sqrt{2}} \left( |\psi^+\rangle_{ijl} |+\rangle_q + |\psi^-\rangle_{ijl} |-\rangle_q \right).
 \end{aligned} \tag{32}$$

- $b_i b_j = 001$ :

$$\begin{aligned}
 (I_i \otimes X_j) |\Psi_k\rangle &= (I_i \otimes X_j) \frac{1}{\sqrt{2}} \left( |\psi^+\rangle_{ijl} |+\rangle_q + |\psi^-\rangle_{ijl} |-\rangle_q \right), \\
 &= (I_i \otimes X_j) \frac{1}{\sqrt{2}} \left( \frac{1}{\sqrt{2}} (|000\rangle + |111\rangle)_{ijl} |+\rangle_q + \right. \\
 &\quad \left. + \frac{1}{\sqrt{2}} (|000\rangle - |111\rangle)_{ijl} |-\rangle_q \right), \\
 &= \frac{1}{\sqrt{2}} \left( \frac{1}{\sqrt{2}} (|010\rangle + |101\rangle)_{ijl} |+\rangle_q + \frac{1}{\sqrt{2}} (|010\rangle - |101\rangle)_{ijl} |-\rangle_q \right), \\
 &= \frac{1}{\sqrt{2}} \left( |\phi^+\rangle_{ijl} |+\rangle_q + |\phi^-\rangle_{ijl} |-\rangle_q \right).
 \end{aligned} \tag{33}$$

■  $b_i b_j = 010$ :

$$\begin{aligned}
 (X_i \otimes I_j) |\Psi_k\rangle &= (I_i \otimes X_j) \frac{1}{\sqrt{2}} \left( |\psi^+\rangle_{ijl} |+\rangle_q + |\psi^-\rangle_{ijl} |-\rangle_q \right), \\
 &= (X_i \otimes I_j) \frac{1}{\sqrt{2}} \left( \frac{1}{\sqrt{2}} (|000\rangle + |111\rangle)_{ijl} |+\rangle_q \right. \\
 &\quad \left. + \frac{1}{\sqrt{2}} (|000\rangle - |111\rangle)_{ijl} |-\rangle_q \right), \\
 &= \frac{1}{\sqrt{2}} \left( \frac{1}{\sqrt{2}} (|100\rangle + |011\rangle)_{ijl} |+\rangle_q + \frac{1}{\sqrt{2}} (|100\rangle - |011\rangle)_{ijl} |-\rangle_q \right), \\
 &= \frac{1}{\sqrt{2}} \left( |\gamma^+\rangle_{ijl} |+\rangle_q + |\gamma^-\rangle_{ijl} |-\rangle_q \right).
 \end{aligned} \tag{34}$$

■  $b_i b_j = 011$ :

$$\begin{aligned}
 (X_i \otimes X_j) |\Psi_k\rangle &= (X_i \otimes X_j) \frac{1}{\sqrt{2}} \left( |\psi^+\rangle_{ijl} |+\rangle_q + |\psi^-\rangle_{ijl} |-\rangle_q \right), \\
 &= (X_i \otimes X_j) \frac{1}{\sqrt{2}} \left( \frac{1}{\sqrt{2}} (|000\rangle + |111\rangle)_{ijl} |+\rangle_q + \right. \\
 &\quad \left. + \frac{1}{\sqrt{2}} (|000\rangle - |111\rangle)_{ijl} |-\rangle_q \right), \\
 &= \frac{1}{\sqrt{2}} \left( \frac{1}{\sqrt{2}} (|110\rangle + |001\rangle)_{ijl} |+\rangle_q + \frac{1}{\sqrt{2}} (|110\rangle - |001\rangle)_{ijl} |-\rangle_q \right), \\
 &= \frac{1}{\sqrt{2}} \left( |\varphi^+\rangle_{ijl} |+\rangle_q - |\varphi^-\rangle_{ijl} |-\rangle_q \right).
 \end{aligned} \tag{35}$$

■  $b_i b_j = 100$ :

$$\begin{aligned}
 (Y_i \otimes I_j) |\Psi_k\rangle &= (Y_i \otimes I_j) \frac{1}{\sqrt{2}} \left( |\psi^+\rangle_{ijl} |+\rangle_q + |\psi^-\rangle_{ijl} |-\rangle_q \right), \\
 &= (Y_i \otimes I_j) \frac{1}{\sqrt{2}} \left( \frac{1}{\sqrt{2}} (|000\rangle + |111\rangle)_{ijl} |+\rangle_q + \right. \\
 &\quad \left. + \frac{1}{\sqrt{2}} (|000\rangle - |111\rangle)_{ijl} |-\rangle_q \right), \\
 &= \frac{1}{\sqrt{2}} \left( \frac{1}{\sqrt{2}} (-|100\rangle + |011\rangle)_{ijl} |+\rangle_q + \frac{1}{\sqrt{2}} (-|100\rangle - |011\rangle)_{ijl} |-\rangle_q \right), \\
 &= \frac{1}{\sqrt{2}} \left( |\gamma^-\rangle_{ijl} |+\rangle_q - |\gamma^+\rangle_{ijl} |-\rangle_q \right).
 \end{aligned} \tag{36}$$

- $b_i b_j = 101$ :

$$\begin{aligned}
 (Y_i \otimes X_j) |\Psi_k\rangle &= (Y_i \otimes I_j) \frac{1}{\sqrt{2}} \left( |\psi^+\rangle_{ijl} |+\rangle_q + |\psi^-\rangle_{ijl} |-\rangle_q \right), \\
 &= (Y_i \otimes X_j) \frac{1}{\sqrt{2}} \left( \frac{1}{\sqrt{2}} (|000\rangle + |111\rangle)_{ijl} |+\rangle_q + \right. \\
 &\quad \left. + \frac{1}{\sqrt{2}} (|000\rangle - |111\rangle)_{ijl} |-\rangle_q \right), \\
 &= \frac{1}{\sqrt{2}} \left( \frac{1}{\sqrt{2}} (-|101\rangle + |010\rangle)_{ijl} |+\rangle_q + \frac{1}{\sqrt{2}} (-|101\rangle - |010\rangle)_{ijl} |-\rangle_q \right), \\
 &= \frac{1}{\sqrt{2}} \left( |\varphi^-\rangle_{ijl} |+\rangle_q - |\varphi^+\rangle_{ijl} |-\rangle_q \right).
 \end{aligned} \tag{37}$$

- $b_i b_j = 110$ :

$$\begin{aligned}
 (Z_i \otimes I_j) |\Psi_k\rangle &= (Y_i \otimes I_j) \frac{1}{\sqrt{2}} \left( |\psi^+\rangle_{ijl} |+\rangle_q + |\psi^-\rangle_{ijl} |-\rangle_q \right), \\
 &= (Z_i \otimes I_j) \frac{1}{\sqrt{2}} \left( \frac{1}{\sqrt{2}} (|000\rangle + |111\rangle)_{ijl} |+\rangle_q + \right. \\
 &\quad \left. + \frac{1}{\sqrt{2}} (|000\rangle - |111\rangle)_{ijl} |-\rangle_q \right), \\
 &= \frac{1}{\sqrt{2}} \left( \frac{1}{\sqrt{2}} (|000\rangle - |111\rangle)_{ijl} |+\rangle_q + \frac{1}{\sqrt{2}} (-|000\rangle + |111\rangle)_{ijl} |-\rangle_q \right), \\
 &= \frac{1}{\sqrt{2}} \left( |\psi^-\rangle_{ijl} |+\rangle_q - |\psi^+\rangle_{ijl} |-\rangle_q \right).
 \end{aligned} \tag{38}$$

- $b_i b_j = 111$ :

$$\begin{aligned}
 (Z_i \otimes X_j) |\Psi_k\rangle &= (Y_i \otimes I_j) \frac{1}{\sqrt{2}} \left( |\psi^+\rangle_{ijl} |+\rangle_q + |\psi^-\rangle_{ijl} |-\rangle_q \right), \\
 &= (Z_i \otimes X_j) \frac{1}{\sqrt{2}} \left( \frac{1}{\sqrt{2}} (|000\rangle + |111\rangle)_{ijl} |+\rangle_q + \right. \\
 &\quad \left. + \frac{1}{\sqrt{2}} (|000\rangle - |111\rangle)_{ijl} |-\rangle_q \right), \\
 &= \frac{1}{\sqrt{2}} \left( \frac{1}{\sqrt{2}} (|010\rangle - |101\rangle)_{ijl} |+\rangle_q + \frac{1}{\sqrt{2}} (-|010\rangle + |101\rangle)_{ijl} |-\rangle_q \right), \\
 &= \frac{1}{\sqrt{2}} \left( |\phi^-\rangle_{ijl} |+\rangle_q - |\phi^+\rangle_{ijl} |-\rangle_q \right).
 \end{aligned} \tag{39}$$

- **P.3.5:** Después, ambos  $u_i$  y  $u_j$ , le transmitiendo el mensaje transformado al usuario disjunto  $u_l$ ,  $u_l$  realiza una medida  $GHZ$  en las partículas  $ijl$ .
- **P.3.6:** El QS calcula el estatus de su partícula realizando una medida de su partícula en las bases de  $X$  y anuncia el resultado de su medida.
- **P.3.7**  $u_l$  utiliza su medida y la medida del QS para descifrar el mensaje  $b_i b_j$ , usando las ecuaciones (32-39) se construye el Cuadro 5.

Medida del $u_j$	Medida del QS	$U_{b_i}$	$b_i$	$U_{b_j}$	$b_j$	Mensaje ( $b_i b_j$ )
$ \psi^+\rangle_{ijl}$	$ +\rangle_q$	$I$	00	$I$	0	000
$ \psi^-\rangle_{ijl}$	$ -\rangle_q$	$I$	00	$I$	0	000
$ \phi^+\rangle_{ijl}$	$ +\rangle_q$	$I$	00	$X$	1	001
$ \phi^-\rangle_{ijl}$	$ -\rangle_q$	$I$	00	$X$	1	001
$ \gamma^+\rangle_{ijl}$	$ +\rangle_q$	$X$	01	$I$	0	010
$ \gamma^-\rangle_{ijl}$	$ -\rangle_q$	$X$	01	$I$	0	010
$ \varphi^+\rangle_{ijl}$	$ +\rangle_q$	$X$	01	$X$	1	011
$ \varphi^-\rangle_{ijl}$	$ -\rangle_q$	$X$	01	$X$	1	011
$ \gamma^+\rangle_{ijl}$	$ +\rangle_q$	$Y$	10	$I$	0	100
$ \gamma^-\rangle_{ijl}$	$ -\rangle_q$	$Y$	10	$I$	0	100
$ \varphi^+\rangle_{ijl}$	$ +\rangle_q$	$Y$	10	$X$	1	101
$ \varphi^-\rangle_{ijl}$	$ -\rangle_q$	$Y$	10	$X$	1	101
$ \psi^+\rangle_{ijl}$	$ +\rangle_q$	$Z$	11	$I$	0	110
$ \psi^-\rangle_{ijl}$	$ -\rangle_q$	$Z$	11	$I$	0	110
$ \phi^+\rangle_{ijl}$	$ +\rangle_q$	$Z$	11	$X$	1	111
$ \phi^-\rangle_{ijl}$	$ -\rangle_q$	$Z$	11	$X$	1	111

Cuadro 5: Decodificación según medidas para el caso de cooperación parcial con tres usuarios.

La Figura 3 esquematiza el protocolo para el caso de la cooperación parcial del QS con tres usuarios.

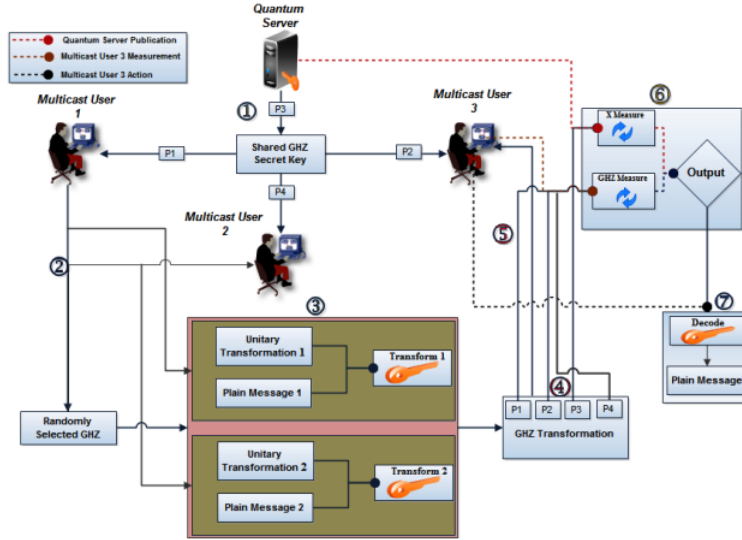


Figura 3: Proceso de comunicación entre dos usuarios disjuntos usando el soporte parcial del QS con tres usuarios.

### 3.2. Cooperación completa

Este proceso consta de los pasos necesarios para la transmisión de un mensaje clásico entre tres usuarios disjuntos con soporte completo del servidor cuántico. En otras palabras, el servidor cuántico funciona como un centro de paso de mensaje entre los usuarios disjuntos.

Repitiendo los pasos P.3.1-P.3.4 de la cooperación parcial, retomamos el protocolo de la siguiente forma:

- **C.3.5:** Después, ambos  $u_i$  y  $u_j$  transmiten el mensaje transformado al QS, el QS realiza una medida de GHZ sobre las partículas  $qij$ .
- **C.3.6:**  $u_l$  calcula el estatus de su partícula realizando una medida en las bases de  $X$  y anuncia su resultado.
- **C.3.7:**  $u_l$  usa su publicación y la medida del QS para retribuir el mensaje original de acuerdo al Cuadro 5.

Medida del QS	Medida del $u_l$	$U_{b_i}$	$b_i$	$U_{b_j}$	$b_j$	Mensaje ( $b_i b_j$ )
$ \psi^+\rangle_{qij}$	$ +\rangle_q$	$I$	00	$I$	0	000
$ \psi^-\rangle_{qij}$	$ -\rangle_q$	$I$	00	$I$	0	000
$ \phi^+\rangle_{qij}$	$ +\rangle_q$	$I$	00	$X$	1	001
$ \phi^-\rangle_{qij}$	$ -\rangle_q$	$I$	00	$X$	1	001
$ \gamma^+\rangle_{qij}$	$ +\rangle_q$	$X$	01	$I$	0	010
$ \gamma^-\rangle_{qij}$	$ -\rangle_q$	$X$	01	$I$	0	010
$ \varphi^+\rangle_{qij}$	$ +\rangle_q$	$X$	01	$X$	1	011
$ \varphi^-\rangle_{qij}$	$ -\rangle_q$	$X$	01	$X$	1	011
$ \gamma^+\rangle_{qij}$	$ +\rangle_q$	$Y$	10	$I$	0	100
$ \gamma^-\rangle_{qij}$	$ -\rangle_q$	$Y$	10	$I$	0	100
$ \varphi^+\rangle_{qij}$	$ +\rangle_q$	$Y$	10	$X$	1	101
$ \varphi^-\rangle_{qij}$	$ -\rangle_q$	$Y$	10	$X$	1	101
$ \psi^+\rangle_{qij}$	$ +\rangle_q$	$Z$	11	$I$	0	110
$ \psi^-\rangle_{qij}$	$ -\rangle_q$	$Z$	11	$I$	0	110
$ \phi^+\rangle_{qij}$	$ +\rangle_q$	$Z$	11	$X$	1	111
$ \phi^-\rangle_{qij}$	$ -\rangle_q$	$Z$	11	$X$	1	111

Cuadro 6: Decodificación según medidas para el caso de cooperación parcial con tres usuarios.

La Figura 4 esquematiza el protocolo para el caso de la cooperación parcial del QS.

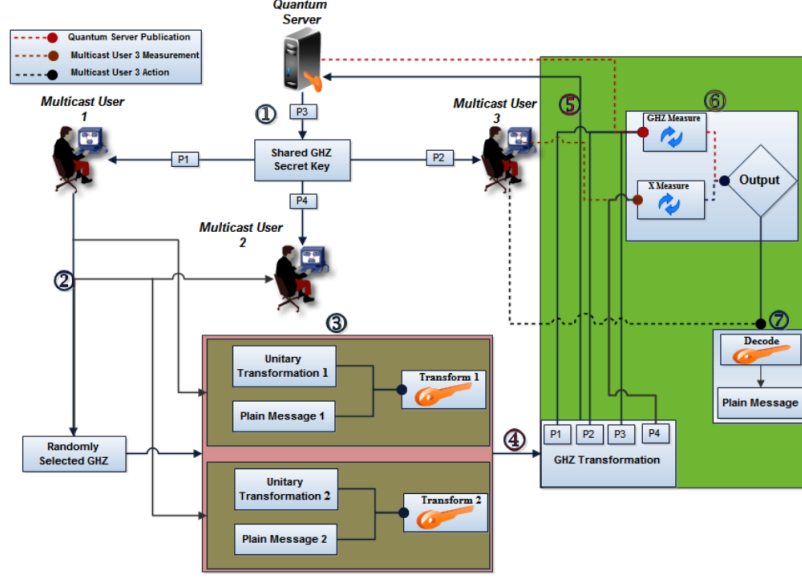


Figura 4: Proceso de comunicación entre tres usuarios disjuntos usando el soporte completo del QS.

#### 4. Comunicación entre $N$ usuarios disjuntos con cooperación parcial y completa del server cuántico

El proceso es esencialmente el mismo que en el de casos anteriores. En este caso, los usuarios  $u_1, u_2, \dots, u_{N-1}$  desean enviarle un mensaje a  $u_N$ . El QS crea un estado GHZ de  $N + 1$  partículas y las distribuye entre los  $N$  usuarios y él mismo. Cabe destacar que este paso se puede omitir si el proceso de comunicación continua inmediatamente después de la fase de comunicación, debido a que este último deja una repartición de estado GHZ entre los usuarios y QS exactamente igual a la necesaria. El estado es:

$$|\Psi\rangle_{q^{12\dots N}} = \frac{1}{\sqrt{2}}(|000\dots 0\rangle + |111\dots 1\rangle)_{q^{12\dots N}} \quad (40)$$

##### 4.1. Cooperación parcial

Luego, cada uno de los usuarios  $u_1, u_2, \dots, u_{N-1}$  aplica una operación  $U_{b_i}$  según el mensaje que quiera enviar, la codificación sigue el estándar del Cuadro 1. Esto deja al estado GHZ en:

$$|\Psi\rangle_{q^{12\dots N}} = \frac{1}{\sqrt{2}} \left( \underbrace{|GHZ'\rangle}_{u_1, \dots, u_N \text{ Usuarios}} |\pm\rangle_q \pm \underbrace{|GHZ''\rangle}_{u_1, \dots, u_N \text{ Usuarios}} |\pm\rangle_q \right), \quad (41)$$

donde  $|GHZ'\rangle$  y  $|GHZ''\rangle$  son dos estados GHZ de longitud  $N$  que el usuario  $u_N$  para medir en la base GHZ y decodificar  $b_1 b_2 \dots b_N \in \{0, 1\}^N$  con la ayuda de la medida en  $X$



de la partícula  $q$  por parte del QS.

La Figura 5 esquematiza el protocolo para el caso de la cooperación parcial del QS.

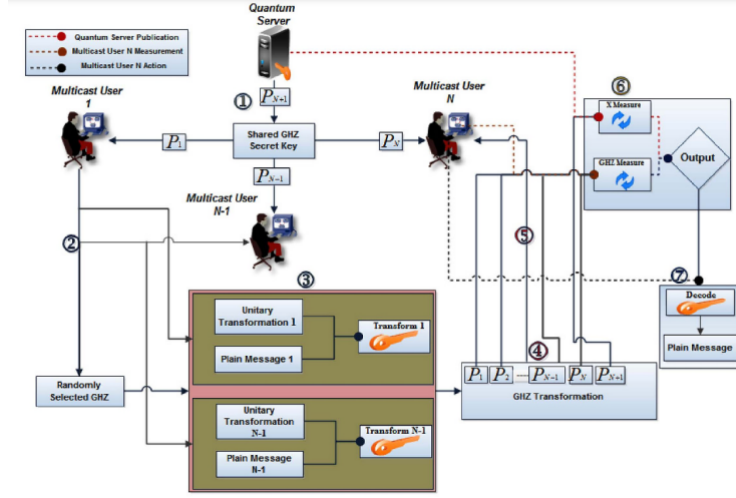


Figura 5: Proceso de comunicación entre  $N$  usuarios disjuntos usando el soporte parcial del QS.

## 4.2. Cooperación completa

Luego, cada uno de los usuarios  $u_1, u_2, \dots, u_{N-1}$  aplica una operación  $U_{b_i}$  según el mensaje que quiera enviar, la codificación sigue el estándar del Cuadro 1. Esto deja al estado GHZ en:

$$|\Psi\rangle_{q12\dots N} = \frac{1}{\sqrt{2}} \left( \underbrace{|\text{GHZ}'\rangle}_{q, u_1, \dots, u_{N-1}} \underbrace{|\pm\rangle_N}_{u_N} \pm \underbrace{|\text{GHZ}''\rangle}_{q, u_1, \dots, u_{N-1}} \underbrace{|\pm\rangle_N}_{u_N} \right). \quad (42)$$

Mensajeros+QS Receptor      Mensajeros+QS Receptor

En este caso el usuario  $u_N$  descifrará el mensaje con la ayuda de la medida del QS en las bases GHZ y su medida en la base  $X$  de su partícula.

La Figura 6 esquematiza el protocolo para el caso de la cooperación completo del QS.

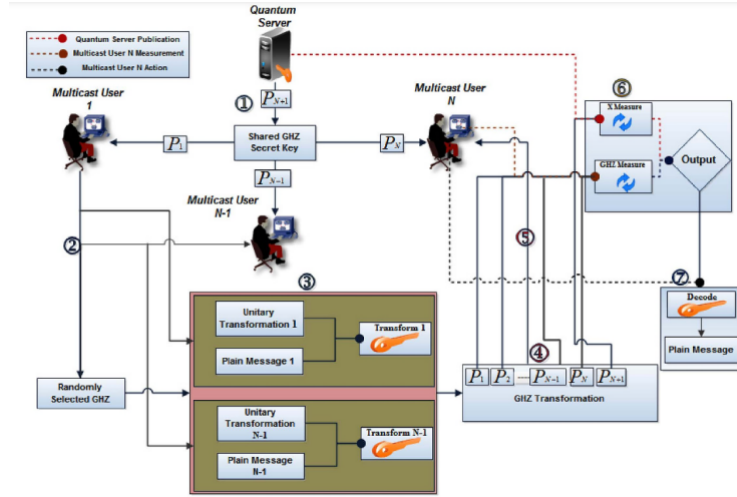


Figura 6: Proceso de comunicación entre  $N$  usuarios disjuntos usando el soporte completo del QS.

## 5. Ejemplos

### 5.1. Fase de autenticación

En este caso se usa un solo usuario y pasamos directamente al funcionamiento de las transformaciones  $C_{OP}$ . Asumamos que  $J_A = J_1 \otimes J_2$ , entonces el estado GHZ (que al ser un solo usuario es un estado de Bell) es:

$$|\Psi\rangle = \frac{1}{\sqrt{2}}(|00\rangle_{SA} + |11\rangle_{SA}), \quad (43)$$

y el estado  $n$  es:

$$|\phi_n\rangle = |J_A\rangle. \quad (44)$$

#### 5.1.1. Codificación del usuario

Si  $J_2 = 0$ :

$$C_0^{A \rightarrow n}(|\Psi\rangle \otimes |J_A\rangle_n) = C_0^{A \rightarrow n} \left( \frac{1}{\sqrt{2}}(|00\rangle_{SA} + |11\rangle_{SA}) \otimes |J_A\rangle_n \right),$$

$$C_0^{A \rightarrow n} \left( \frac{1}{\sqrt{2}}(|00\rangle_{SA} |J_A\rangle_n + |11\rangle_{SA} |J_A\rangle_n) \right) = \frac{1}{\sqrt{2}}(|00\rangle_{SA} |J_A\rangle_n + |11\rangle_{SA} |\overline{J_A}\rangle_n).$$

Si  $J_2 = 1$ :

$$C_1^{A \rightarrow n}(|\Psi\rangle \otimes |J_A\rangle_n) = C_1^{A \rightarrow n} \left( \frac{1}{\sqrt{2}}(|++\rangle_{SA} + |--\rangle_{SA}) \otimes |J_A\rangle_n \right),$$

$$C_1^{A \rightarrow n} \left( \frac{1}{\sqrt{2}}(|++\rangle_{SA} |J_A\rangle_n + |--\rangle_{SA} |J_A\rangle_n) \right) = \frac{1}{\sqrt{2}}(|++\rangle_{SA} |J_A\rangle_n + |--\rangle_{SA} |\overline{J_A}\rangle_n).$$

### 5.1.2. Decodificación del QS

Si  $J_2 = 0$ :

$$\begin{aligned} C_0^{S \rightarrow n} \left( \frac{1}{\sqrt{2}} (|00\rangle_{SA} |J_A\rangle_n + |11\rangle_{SA} |\overline{J_A}\rangle_n) \right) &= \frac{1}{\sqrt{2}} (|00\rangle_{SA} |J_A\rangle_n + |11\rangle_{SA} |J_A\rangle_n), \\ &= |\Psi\rangle_{SA} \otimes |J_A\rangle_n \end{aligned}$$

Si  $J_2 = 1$ :

$$\begin{aligned} C_1^{S \rightarrow n} \left( \frac{1}{\sqrt{2}} (|++\rangle_{SA} |J_A\rangle_n + |--\rangle_{SA} |\overline{J_A}\rangle_n) \right) &= \frac{1}{\sqrt{2}} (|++\rangle_{SA} |J_A\rangle_n + |--\rangle_{SA} |J_A\rangle_n), \\ &= |\Psi\rangle_{SA} \otimes |J_A\rangle_n \end{aligned}$$

En ambos casos si el QS mide  $n$  en las bases de  $Z$  obtendrá  $J_A$ , confirmando la identidad del usuario.

## 5.2. Proceso de comunicación

Supongamos una comunicación entre dos usuarios,  $u_a$  y  $u_b$ , administrada por un QS. El QS lo primero que hace preparar el estado GHZ:

$$\begin{aligned} |\psi_3^+\rangle_{abq} &= \frac{1}{\sqrt{2}} (|000\rangle + |111\rangle)_{abq}, \\ &= \frac{1}{\sqrt{2}} \left( |\Phi^+\rangle_{ab} |+\rangle_q + |\Phi^-\rangle_{ab} |-\rangle_q \right). \end{aligned} \quad (45)$$

y lo reparte entre los usuarios, incluyéndole.

Supongamos ahora que  $u_a$  quiere enviar el mensaje  $b_a = 10$  a  $u_b$ , entonces  $u_a$  aplica  $U_{10} = Y$  a su partícula  $a$  dejándola en el estado de la ecuación (24):

$$Y_a |\psi_3^+\rangle_{abq} = \frac{1}{\sqrt{2}} \left( |\Psi^-\rangle_{ab} |+\rangle_q - |\Psi^+\rangle_{ab} |-\rangle_q \right). \quad (46)$$

En cooperación parcial

$u_a$  le transmite su partícula a  $u_b$ . Luego, el QS mide su partícula  $q$  en las bases de  $X$ . Asumamos que su medida arroja  $|-\rangle$ . La medida proyectiva aplicada sería:

$$\begin{aligned} \hat{M}_q^- |\psi_3^+\rangle_{abq} &= (I \otimes I \otimes |-\rangle_q \langle -|_q) \frac{1}{\sqrt{2}} \left( |\Psi^-\rangle_{ab} |+\rangle_q - |\Psi^+\rangle_{ab} |-\rangle_q \right), \\ &= \frac{1}{\sqrt{2}} \left( |\Psi^-\rangle_{ab} \langle -|_+ \rangle_{qq} |-\rangle_q - |\Psi^+\rangle_{ab} \langle -|_- \rangle_{qq} |-\rangle_q \right), \\ &= \frac{1}{\sqrt{2}} \left( -|\Psi^+\rangle_{ab} |-\rangle_q \right). \end{aligned} \quad (47)$$

Luego la probabilidad de encontrar ese estado:

---


$$\begin{aligned}
p(-) &= \langle \psi_3^+ |_{abq} \hat{M}_q^{-\dagger} \hat{M}_q^- | \psi_3^+ \rangle_{abq}, \\
&= \frac{1}{\sqrt{2}} \left( -\langle \Psi^+ |_{ab} \langle - |_q \right) \frac{1}{\sqrt{2}} \left( -|\Psi^+\rangle_{ab} |-\rangle_q \right), \\
&= \frac{1}{2} \langle \Psi^+ | \Psi^+ \rangle_{abab} \langle - | - \rangle_{qq}, \\
&= \frac{1}{2}.
\end{aligned} \tag{48}$$

El estado de la ecuación (46) queda en:

$$\begin{aligned}
|\psi_3^+\rangle'_{abq} &= \frac{\hat{M}_q^- |\psi_3^+\rangle_{abq}}{\sqrt{p(-)}}, \\
&= \frac{1}{\sqrt{\frac{1}{2}}} \frac{1}{\sqrt{2}} \left( -|\Psi^+\rangle_{ab} |-\rangle_q \right), \\
&= -|\Psi^+\rangle_{ab} |-\rangle_q.
\end{aligned} \tag{49}$$

Finalmente,  $u_b$  mide en las bases de Bell el estado  $|\Psi^+\rangle_{ab}$  que junto al anuncio de la media del QS en  $|-\rangle_q$  y la ayuda del Cuadro 2 descifra el mensaje  $b_a = 10$ .

#### Cooperación completa

En este caso  $u_a$  le transmite su partícula al QS. Por brevedad y sin perder generalidad, asumamos que las medidas son las mismas, pero aquí el QS mide las partículas  $aq$  en las bases de Bell obteniendo  $|\Psi^+\rangle_{aq}$  y el  $u_b$  mide  $|-\rangle_b$  descifrando el mismo mensaje  $b_a = 10$ .

## 6. Implementación circuital

En esta sección se detalla las posibles construcciones circuitales del protocolo detallado en las secciones anteriores, considerando que son 3 usuarios, pues la implementación de 2 usuarios será simplemente hacer los recortes pertinentes. Además se asume que  $k = 4$  para usar siempre el ultimo bit de la llave compartida. Tristemente no se puede representar gráficamente el proceso de repartición de los qubits en los circuitos.

### 6.1. Fase de autenticación

#### 6.1.1. Inicialización del GHZ

La primera parte de la fase de autenticación y comunicación es la creación de un estado GHZ. Esto se logra haciendo:

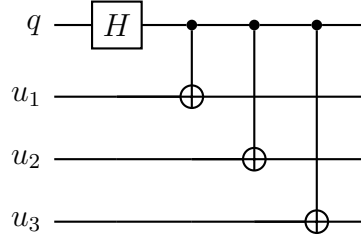
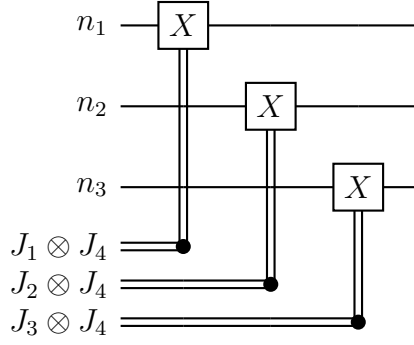


Figura 7: Inicialización del 4-GHZ.

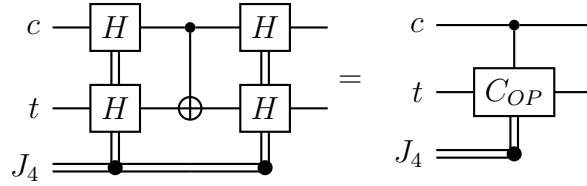
### 6.1.2. Estados $n$

En este caso dependerá de cada  $J_i \otimes J_{N+1}$ . Pero si se asume que los qubits están inicializados en  $|0\rangle$ , entonces solo debemos aplicar una transformación  $X$  controlada por bits, esto es:

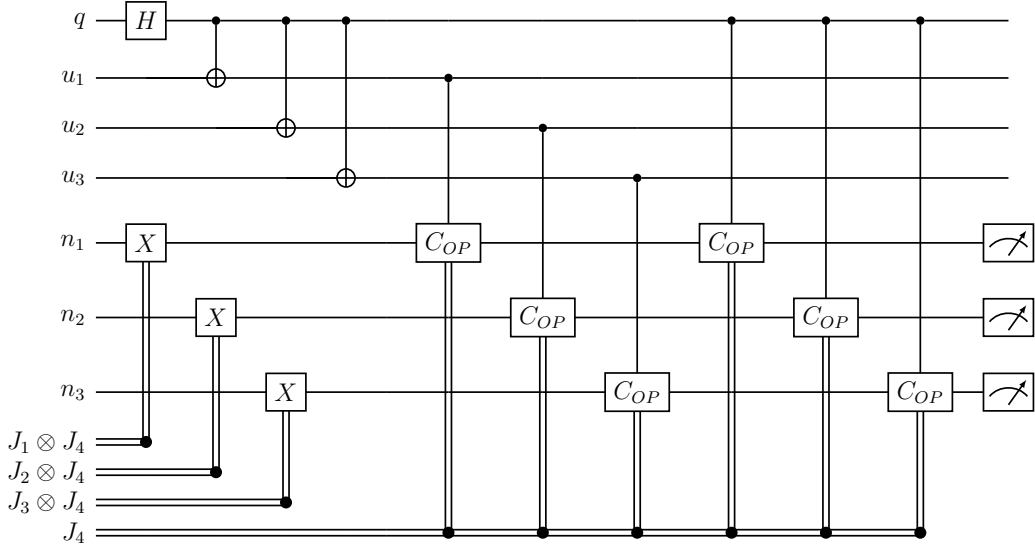

 Figura 8: Estados  $n$ .

### 6.1.3. Transformaciones controladas $C_{OP}$

Recordando,  $C_0$  corresponde a un CNOT común y  $C_1$  a un CNOT en las bases de  $X$ , y la elección depende de  $J_4$ , para eso se propone el siguiente circuito controlado por bits:


 Figura 9: Transformaciones controladas  $C_{OP}$ .

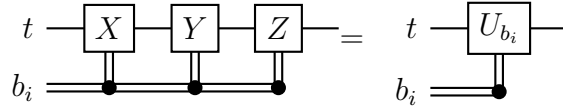
Utilizando estos bloques, podemos construir el circuito de autenticación siguiente:


 Figura 10: Circuito de autenticación para  $N = 3$ .

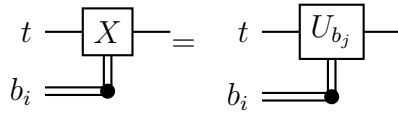
## 6.2. Proceso de comunicación

### 6.2.1. Operaciones $U_{b_i}$ y $U_{b_j}$

Este caso es muy sencillo, para  $U_{b_i}$  basta simplemente hacer:


 Figura 11: Transformación  $U_{b_i}$ .

Similarmente para  $U_{b_j}$ :


 Figura 12: Transformación  $U_{b_j}$ .

### 6.2.2. Medida en $X$

Para poder medir en otras bases que no sean las de  $Z$  en un circuito, se debe asumir que el estado anterior a la medida está en estas bases que deseamos medir, aplicar una transformación que lo devuelva a las bases de  $Z$  y medir. Para la medida en  $X$ , la transformación capaz de llevar de las bases de  $X$  a la de  $Z$  es la de Hadamard. Así el circuito es:

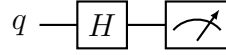


Figura 13: Medida en las bases de  $X$ .

### 6.2.3. Medida en GHZ

Al igual que el caso anterior, debemos hacer el cambio de GHZ a  $Z$ , para eso usamos el circuito:

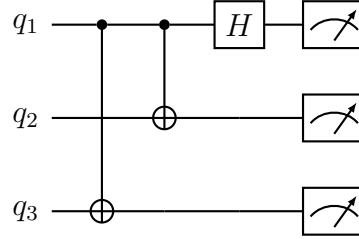


Figura 14: Medida en las bases 3-GHZ.

Finalmente, podemos uniendo todos los bloques, podemos construir los circuitos de comunicación siguientes:

#### Cooperación parcial

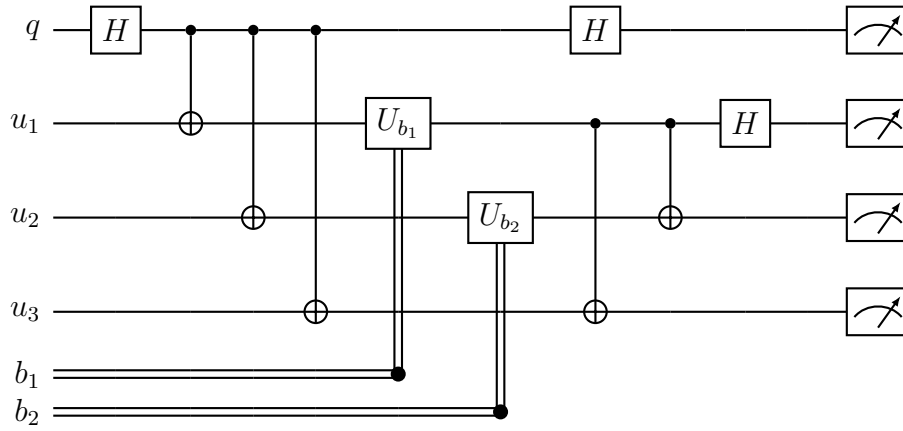


Figura 15: Circuito de comunicación para cooperación parcial.

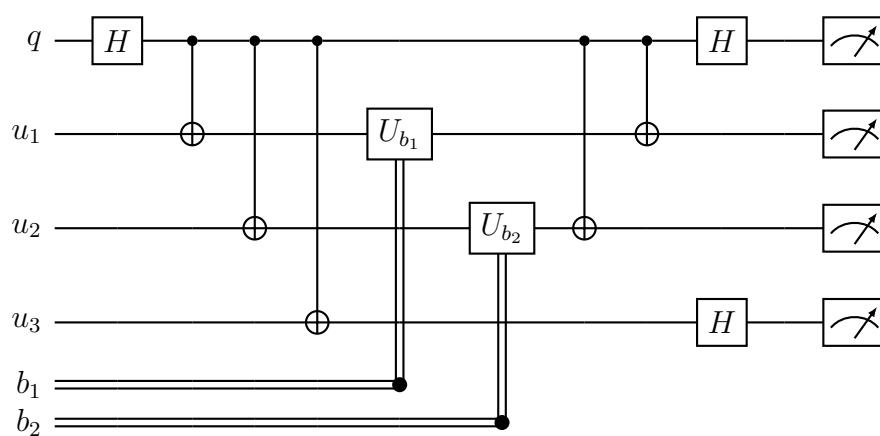
Cooperación completa

Figura 16: Circuito de comunicación para cooperación completa.



## Bibliografía

- 1 Farouk, A. et al. A generalized architecture of quantum secure direct communication for N disjointed users with authentication. Sci. Rep. 5, 16080; doi: 10.1038/s-rep16080 (2015).
- 2 Farouk, A., Batle, J., Elhoseny, M., Naseri, M., Lone, M., Fedorov, A., Alkhambashi, M., Ahmed, S. and Abdel-Aty, M., 2017. Robust general N user authentication scheme in a centralized quantum communication network via generalized GHZ states. Frontiers of Physics, 13(2).